

## دسته‌بندی داده‌های جریانی فازی با استفاده از تحلیل پوششی داده‌ها

امینه توحیدی<sup>۱</sup>، محمد امین ادبی<sup>۲</sup>، علیرضا علی نژاد<sup>۳\*</sup>

<sup>۱</sup>دانشجوی کارشناسی ارشد، دانشگاه آزاد اسلامی، واحد قزوین، گروه مهندسی صنایع، قزوین، ایران

<sup>۲</sup>استادیار دانشگاه آزاد اسلامی، واحد قزوین، گروه مهندسی صنایع، قزوین، ایران

<sup>۳</sup>دانشیار، دانشگاه آزاد اسلامی، واحد قزوین، گروه مهندسی صنایع، قزوین، ایران (عهدهدار مکاتبات)

تاریخ دریافت: اسفند ۱۳۹۴، اصلاحیه: خرداد ۱۳۹۵، پذیرش: مرداد ۱۳۹۵

چکیده

در این تحقیق یک روش دسته‌بندی داده‌های غیرقطعی از نوع فازی که از جمله چالش برانگیزترین حوزه‌های تحلیل داده محسوب می‌شود، ارائه شده است. در واقع حجم بالا و پیچیدگی روش‌های تحلیل داده مانع از توسعه روش‌هایی جهت تحلیل داده‌های فازی می‌شود. با این حال در برخی حوزه‌های دیگر همچون برنامه‌ریزی ریاضی پیشرفت‌های چشمگیری در مدل سازی سیستم‌هایی که داده‌های فازی از آنها در اختیار است، بdst آمده است و لذا توجهات به سمت بهره‌گیری از این فرصت در سال‌های اخیر جلب شده است. به منظور بهره برداری از یافته‌های تحقیقاتی پیرامون مدل‌های ریاضی فازی، در این تحقیق یک روش جدید دسته‌بندی داده‌های فازی مبتنی بر تحلیل پوششی داده زمانی که داده‌ها به صورت جریانی وارد می‌شوند، ارائه می‌شود. روش پیشنهادی می‌تواند با استفاده از بهنگام‌سازی معیارهایی پیش‌بینی دسته‌ی داده‌های فازی به دسته‌بندی داده‌هایی پیراذاد که در طول زمان تغییراتی در الگوی رفتاری آنها بوجود می‌آید. روش جدید توسط داده‌های شبیه‌سازی شده مورد آزمون قرار گرفته و نتایج نشان‌دهنده‌ی قابلیت این روش در مواجه با شرایط غیرقطعی و متغیر است.

**کلمات کلیدی:** دسته‌بندی، داده‌های فازی، تحلیل پوششی داده‌ها، برنامه‌ریزی ریاضی، جریان داده.

در طول زمان مشاهده می‌گردد و اصطلاحاً داده‌های جریانی<sup>۱</sup> می‌باشند[۷]. در چنین شرایطی سوال این است که چگونه می‌توان مدلی برای تعیین کلابس داده‌هایی که بصورت جریانی مشاهده می‌شوند و در ضمن دارای جنبه‌های غیرقطعی بصورت فازی هستند بdst آورد و آن را در طول زمان بر حسب تغییرات شرایط سیستم تحت مطالعه به روز رسانی نمود؟

در چنین شرایطی استفاده از قابلیت‌های برنامه‌ریزی خطی در شرایط وجود داده‌های فازی از یکسو و قابلیت به روز رسانی سریع جواب بهینه در صورت تغییر بردارها و ماتریسهای ضرایب به کمک نرم‌افزارهای قدرتمند حل مدل‌های برنامه ریزی ریاضی، دسته‌بندی براساس روش تحلیل پوششی داده‌ها (DEA) را به روشنی مناسب تبدیل می‌کند. هرچند که روش DEA اساساً برای محاسبه کارائی نسبی تعدادی واحد هم سinx که تعدادی نهاده را به تعدادی خروجی تبدیل می‌کند اما با تغییر تفسیر واحد ها می‌توان در کاربردهای دیگری از جمله دسته‌بندی داده نیز از آن استفاده کرد. در این روش هر داده به عنوان یک DMU در نظر گرفته می‌شود که ورودی های آن مشخصه های داده و خروجی کلاس داده است. نشان داده می‌شود فضایی که داده‌های متعلق به یک

### ۱- مقدمه

مساله دسته‌بندی<sup>۱</sup> عبارتست از تخصیص یک کلاس یا دسته به یک داده (موقعیت) براساس یک تابع یا مدل از پیش تعیین شده. چنین مدلی از طریق مقایسه کلاس یکسری داده (که کلاس آنها مشخص می‌باشد یا اصطلاحاً داده‌های آموزشی) از روش‌های مختلفی همچون درخت تصمیم، شبکه‌های عصبی مصنوعی، ماشین بردار پشتیبان، رگرسیون لجستیک و... حاصل می‌شود [۱]. با در اختیار داشتن چنین مدلی مشخص می‌شود که یک داده به یک کلاس خاص تعلق دارد یا خیر؟ بطور خاص می‌توان کنترل کیفیت کامپیوترا، پیش وضعیت ماشین آلات، طراحی فرایندهای تولیدی و... را از کاربردهای خاص دسته بندی در صنعت دانست [۱۲].

از چالش‌های دسته‌بندی، ایجاد مدل‌های دسته‌بندی کننده برای داده‌های غیر قطعی فازی می‌باشد. زیرا در بسیاری از مواقع داده‌های جمع آوری شده بدلاًیل مختلف قطعی نیستند. از طرفی در بسیاری از مواقع داده‌هایی که باید دسته‌بندی شوند یکجا آماده نیستند بلکه

۱- Classification  
\*alinezhad@qiau.ac.ir

معروفی شده در (2) و (3) را حل می‌کنیم که مدل‌های ورودی DEA محور و خروجی محور هستند. محدوده‌ی بدست آمده برای دو دسته 1 و 2 بر اساس نقاط مرزی نیز در شکل (1) نشان داده شده است. در ضمن مقادیر متغیر وابسته  $\theta$  در حل دو سری مسائل LP مربوط به دسته اول و دوم در جداول (2) و (3) آمده است که از روی آنها شناسائی نقاط مرزی ممکن می‌گردد.

$$\text{Minimize} \theta^t$$

Subject to:

$$\begin{aligned} \sum_{i=1}^n \lambda_i x_{ij} - \xi^t x_{tj} &\leq 0, \quad j = 1, \dots, m \\ \sum_{i=1}^n \lambda_i &= 1 \\ \lambda_i &\geq 0, \quad i = 1, \dots, n. \end{aligned} \quad (1)$$

جدول (1): داده‌های نمرات داوطلبین ورود به دانشگاه

ردیف زمینه (GMAI) مشخصه اول	ردیف زمینه (GPA) مشخصه دوم	ردیف (نوبت)	ردیف زمینه (GMAI) مشخصه اول	ردیف زمینه (GPA) مشخصه دوم	ردیف (نوبت)
640	6.02	1	310	4.7	2
550	6.09	1	350	4.5	2
510	5.67	1	400	4.7	2
420	5.54	1	370	4.8	2
560	6.75	1	450	4.7	2
550	6.6	1	500	4.5	2
580	5.87	1	520	4.6	2
420	6.2	1	550	4.3	2
450	6.77	1	570	4.5	2
520	5.67	1	450	4.9	2
440	5.33	1	320	4.6	2
480	5.96	1	400	4.6	2
520	6.13	1	310	5.1	2
570	6.26	1			
400	5.95	1			
580	5.2	1			

$$\text{Minimize} \theta^t \quad (2)$$

کلاس در آن قرار می‌گیرند، همان فضای پوشش داده شده توسط مرز کارائی حاصل از حل یک مساله DEA است [10] با استفاده از روش DEA برای دسته‌بندی، حصولتابع دسته‌بندی کننده از حل یک مساله برنامه ریزی خطی ممکن می‌گردد. این موضوع باعث می‌گردد تا بتوان از ویژگی‌های برنامه ریزی خطی، از جمله تحلیل حساسیت جواب در صورت تغییر ضرایب، بصورت گسترده در دسته‌بندی استفاده کرد. از جمله این ویژگی‌ها بررسی داده‌های غیرقطعی فازی می‌باشد که در مدل‌های برنامه ریزی ریاضی به راحتی با آنها می‌توان برخورد نمود [9]. با بررسی ادبیات استفاده از تحلیل پوششی داده در دسته‌بندی می‌توان دریافت تحقیقات معدودی در این حوزه صورت پذیرفته است که تعدادی از آنها به معرفی این رویکرد جدید و تعدادی به استفاده از آن برای داده‌های غیرقطعی پرداخته‌اند. بر اساس تحقیقات انجام گرفته توسط مولفین این مقاله از مدل برنامه ریزی ریاضی مربوط به DEA در بررسی دسته‌بندی داده‌های جریانی استفاده نشده است که در این تحقیق به آن پرداخته می‌شود. برای این منظور یک مکانیزم جدید باید پیشنهاد گردد تا بتواند مدل برنامه ریزی ریاضی جدید را برای دسته‌بندی داده‌های جریانی بکار بگیرد. این مکانیزم باید بتواند با کنترل ورود و خروج داده‌های موثر بر مرز کارائی در طول زمان، بستر مناسب بهینه سازی را فراهم کند. در این خصوص می‌توان یک روش خلاصه سازی داده‌ها (فسرده سازی) از قبیل روش‌های خوش بندی [4] را پیشنهاد گردان که از یک سو بردارهای داده ورودی را دریافت و آنها را در بردارهایی که می‌تواند مرکز خوش‌ها باشد، خلاصه و برای درنظر گرفته شدن در دسته‌بندی ارسال شود [2], [5].

در ادامه این مقاله در بخش 2 دسته‌بندی با DEA ارائه می‌شود و در بخش 3 حالت فازی بررسی می‌گردد. چارچوب پیشنهادی برای دسته‌بندی داده ای جریانی قرار داده شده است. روش پیشنهادی در بخش 5 مورد آزمون قرار می‌گیرد و نتایج در بخش 6 گنجانده شده است.

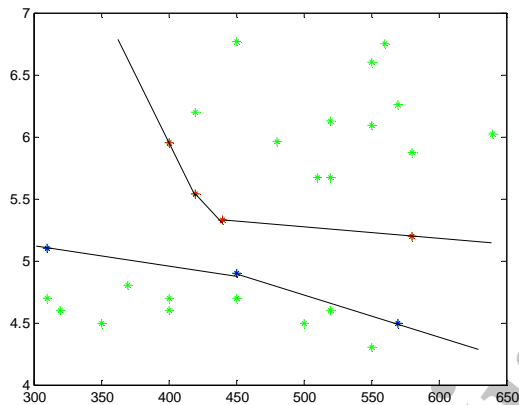
## 2- دسته‌بندی داده با استفاده از تحلیل پوششی داده

فرض کنید می‌خواهیم به هدف دسته‌بندی محدوده یک دسته را شناسائی کنیم. حال اگر هر داده یک DMU در نظر گرفته شود که مقادیر مشخصه‌های هر داده به عنوان ورودی و خروجی DMU و عدد یک هم به عنوان تنها خروجی آن باشد، با حل یک مساله DEA می‌توان داده‌هایی که به عنوان نقاط مرزی در DEA شناخته می‌شوند را برای ترسیم محدوده دسته مورد استفاده قرار داد و سپس از این محدوده ها برای پیش‌بینی دسته داده‌های جدید استفاده کرد. یعنی اگر  $n$  داده می‌توان با حل مجموعه مساله‌های برنامه ریزی خطی نشان داده شده در معادله (1) در قالب یک مساله DEA برای تشخیص نقاط مرزی برای تعیین محدوده دسته اقدام کرد.

به عنوان مثال مجموعه داده‌های جدول (1) را که در دو دسته 1 و 2 هستند را در نظر بگیرید. این داده‌ها از [8] انتخاب شده‌اند.

برای شناسائی محدوده های دسته‌های دوگانه دو سری مساله های

$\theta$	شماره داده (دسته 2)
1.08	1
1.11	2
1.05	3
1.04	4
1.03	5
1.04	6
1.01	7
1.04	8
1.00	9
1.00	10
1.10	11
1.07	12
1.00	13



شکل (1): محدوده‌ی بدهت آمده برای دو دسته 1 و 2 بر اساس نقاط مرزی

### 3- دسته‌بندی داده‌های غیرقطعی فازی با استفاده از تحلیل پوششی داده

با فرض این که مقدار مشخصه‌ی زام ( $j = 1, 2, \dots, m$ ) داده‌ی  $a_{ij}$  به صورت یک عدد فازی ذوزنقه‌ای به فرم  $\tilde{x}_{ij} = (a_{ij}, b_{ij}, c_{ij}, d_{ij})$  باشد که تابع عضویت آن در شکل (2) نشان داده شده است، آنگاه الگوی مدل برنامه ریزی خطی مناسب با یک مساله DEA به شکل معادله 4 خواهد بود.

$$\text{minimize } \theta^t$$

Subject to:

$$\sum_{i=1}^n \lambda_i \tilde{x}_{ji} \leq \theta^t \tilde{x}_{jt}, \quad j = 1, \dots, m \quad (4)$$

Subject to:

$$\begin{aligned} \sum_{i=1}^n \lambda_i x_{ij} - \theta^t x_{tj} &\leq 0, \quad j = 1, 2 \\ \sum_{i=1}^{16} \lambda_i &= 1 \\ \lambda_i &\geq 0, \quad i = 1, \dots, 16. \end{aligned}$$

$$\text{Maximize } \theta^t$$

Subject to:

$$\begin{aligned} \sum_{i=1}^n \lambda_i x_{ij} - \theta^t x_{tj} &\geq 0, \quad j = 1, 2 \\ \sum_{i=1}^{13} \lambda_i &= 1 \\ \lambda_i &\geq 0, \quad i = 1, \dots, 13. \end{aligned} \quad (3)$$

جدول (2): مقادیر متغیر  $\theta$  در حل سری مسائل LP مربوط به دسته اول

$\theta$	شماره داده (دسته 1)
0.87	1
0.87	2
0.93	3
1.00	4
0.79	5
0.81	6
0.90	7
0.96	8
0.89	9
0.93	10
1.00	11
0.90	12
0.87	13
0.85	14
1.00	15
1.00	16

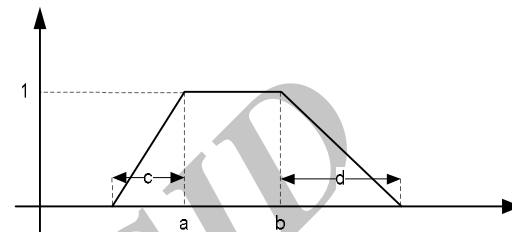
جدول (3): مقادیر متغیر  $\theta$  در حل سری مسائل LP مربوط به دسته دوم

در [6] یک روش برای حل مساله نشان داده شده در معادله 4 ارائه شده است که با حل آن یک مقدار قطعی برای مقادیر  $\theta$  بدست می‌آید. مدل مورد نظر که یک مدل LP قطعی است در 5 آمده است که در آن  $\alpha^R = d$ ,  $\alpha^L = c$ ,  $x^R = b$ ,  $x^L = a$  و همچنین  $s$  تعداد خروجی‌های هر DMU است.

$$\sum_{i=1}^n \lambda_i \tilde{y}_{ri} \geq \tilde{y}_{rt}, \quad r = 1, \dots, s$$

$$\sum_{i=1}^n \lambda_i = 1$$

$$\lambda_i \geq 0, \quad i = 1, \dots, n$$



شکل(2): درجه عضویت عدد فازی ذوزنقه‌ای  $\tilde{x} = (a, b, c, d)$

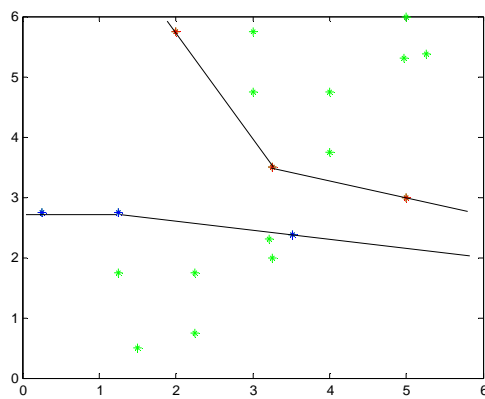
جدول (4): مقادیر 20 داده فازی در دو دسته 1 و 2

شماره داده	x1_a	x1_b	x1_c	x1_d	x2_a	x2_b	x2_c	x2_d	شماره دسته
1	3.25	4.00	0.50	0.50	3.50	4.25	0.50	0.50	1
2	3.00	4.00	0.50	0.50	4.75	5.25	0.50	0.50	1
3	3.00	4.00	0.50	0.50	5.75	6.25	0.50	0.50	1
4	2.00	3.00	0.50	0.50	5.75	6.25	0.50	0.50	1
5	4.00	5.00	0.50	0.50	4.75	5.25	0.50	0.50	1
6	5.00	6.00	0.50	0.50	3.00	3.50	0.50	0.50	1
7	5.00	6.00	0.50	0.50	6.00	6.50	0.50	0.50	1
8	4.00	5.00	0.50	0.50	3.75	4.25	0.50	0.50	1
9	4.96	5.96	0.50	0.50	5.31	5.81	0.50	0.50	1
10	5.26	6.26	0.50	0.50	5.38	5.88	0.50	0.50	1
11	1.50	2.50	0.50	0.50	0.50	1.00	0.50	0.50	2
12	1.25	2.25	0.50	0.50	1.75	2.25	0.50	0.50	2
13	1.25	2.25	0.50	0.50	2.75	3.25	0.50	0.50	2
14	0.25	1.25	0.50	0.50	2.75	3.25	0.50	0.50	2
15	2.25	3.25	0.50	0.50	1.75	2.25	0.50	0.50	2
16	3.25	4.25	0.50	0.50	2.00	2.50	0.50	0.50	2
17	3.25	4.25	0.50	0.50	2.00	2.50	0.50	0.50	2
18	2.25	3.25	0.50	0.50	0.75	1.25	0.50	0.50	2
19	3.21	4.21	0.50	0.50	2.31	2.81	0.50	0.50	2
20	3.51	4.51	0.50	0.50	2.38	2.88	0.50	0.50	2

نشان داده شده است. توجه شود برای رسم داده‌های فازی معادل قطعی شده آنها از روش درجه عضویت حداکثر-میانگین یعنی  $(a + b)/2$  استفاده شده است.

به عنوان مثال داده‌های جدول (4) که مربوط به 20 داده فازی ذوزنقه‌ای در دو دسته یک و دو هستند را در نظر بگیرید. برای این مقادیر با استفاده از مدل 5 دسته‌بندی به اجرا درآمده و نتایج در قالب شکل (3)

$\theta$	شماره داده (2) دسته
1.67	1
1.31	2
1.00	3
1.00	4
1.25	5
1.06	6
1.06	7
1.34	8
1.03	9
1.00	10



شکل (3): محدوده‌ی دسته‌های 1 و 2 بر اساس معادل قطعی شده داده‌های فازی و نقاط مرزی

#### 4-مدل جدید دسته‌بندی داده‌های جریان فازی با استفاده از تحلیل پوششی داده‌ها

مدل جدید ارائه شده در این تحقیق به منظور دسته‌بندی داده‌های فازی با استفاده از تحلیل پوششی داده در شکل (4) نشان داده شده است. همانطور که در شکل نشان داده شده است، ابتدا بر مبنای داده‌های آموختشی که تعدادی یا همه مشخصه‌های آنها بصورت فازی ارزش گذاری شده اند و همچنین برچسب هر داده نیز در آن مشخص است، مسائل DEA به منظور شناسائی نقاط مرزی حل می‌شوند. از نقاط مرزی بدست آمده در هر کدام از مسائل DEA برای تعیین معیار تعلق داده‌ها به آن دسته استفاده خواهد شد. قبل از شروع دسته‌بندی جریان داده، متغیر D را تعریف و برابر صفر قرار می‌دهیم. از این متغیر در روند دسته‌بندی داده‌های جریانی برای نگهداری میزان فاصله داده‌هایی که مدل دسته‌های شناسائی شده را تأیید نمی‌کنند استفاده خواهد شد. همچنین مجموعه  $S_{new}$  را تعریف و آن را برای نگهداری داده‌هایی که مدل دسته‌های شناسائی شده را تأیید نمی‌کنند استفاده خواهد شد. این مجموعه در شروع تهی است.

در دسته‌بندی داده‌هایی که بصورت جریانی وارد می‌شود، چنانچه یک داده جدید، یعنی با توجه به محدوده‌های شناسائی شده جاری به یکی از

$$\text{minimize } \theta^t$$

Subject to:

$$\begin{aligned} \sum_{i=1}^n \lambda_i x_{ji}^L &\leq \theta^t x_{jt}^L, \quad j = 1, \dots, m \\ \sum_{i=1}^n \lambda_i x_{ji}^R &\leq \theta^t x_{jt}^R, \quad j = 1, \dots, m \\ \sum_{i=1}^n \lambda_i x_{ji}^L - \sum_{i=1}^n \lambda_i \alpha_{ji}^L &\leq \theta^t x_{jt}^L - \theta^t \alpha_{jt}^L, \quad j = 1, \dots, m \\ \sum_{i=1}^n \lambda_i x_{ji}^R + \sum_{i=1}^n \lambda_i \alpha_{ji}^R &\leq \theta^t x_{jt}^R - \theta^t \alpha_{jt}^R, \quad j = 1, \dots, m \\ \sum_{i=1}^n \lambda_i y_{ri}^L &\geq y_{rt}^L, \quad r = 1, \dots, s \\ \sum_{i=1}^n \lambda_i y_{ri}^R &\geq y_{rt}^R, \quad r = 1, \dots, s \\ \sum_{i=1}^n \lambda_i y_{ri}^L - \sum_{i=1}^n \lambda_i \beta_{ri}^L &\leq y_{rt}^L - \beta_{rt}^L, \quad r = 1, \dots, s \\ \sum_{i=1}^n \lambda_i y_{ri}^R + \sum_{i=1}^n \lambda_i \beta_{ri}^R &\geq y_{rt}^R - \beta_{rt}^R, \quad r = 1, \dots, s \\ \sum_{i=1}^n \lambda_i &= 1, \\ \lambda_i &\geq 0, \quad i = 1, \dots, n \end{aligned} \tag{5}$$

جدول (5): مقادیر متغیر وابسته  $\theta$  در حل سری مسائل LP فازی مربوط به

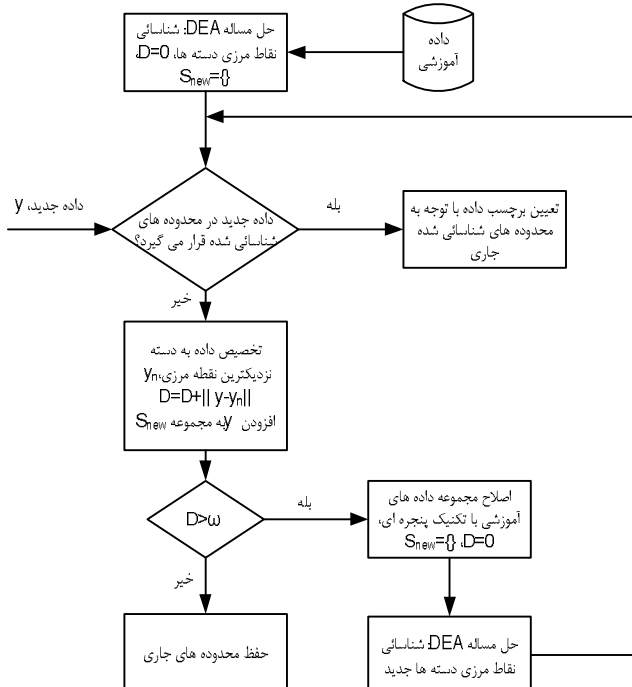
دسته 1

$\theta$	شماره داده (1) دسته
1.00	1
0.94	2
0.87	3
1.00	4
0.82	5
1.00	6
0.69	7
0.95	8
0.74	9
0.72	10

جدول (6): مقادیر متغیر وابسته  $\theta$  در حل سری مسائل LP فازی مربوط به

دسته 2

تصادفی در فاصله بین این دو گروه از داده‌ها ایجاد می‌کنیم. در واقع در مجموع 40 داده آموزشی اولیه (جدول 12) و 220 داده که بصورت جریانی وارد می‌شوند، تولید می‌شود.



شکل (4): مدل جدید دسته‌بندی جریان داده فازی با استفاده از DEA

جدول (7): شیوه ایجاد داده‌های فازی دسته 1 به منظور استفاده در مرحله آموزش اولیه

$a \sim N(7,1.5)$	بعد اول (مشخصه 1)
$b' \sim U(0,1)$	
$b = a + b'$	
$c, d \sim U(0.2,0.7)$	
$a \sim N(9,1.5)$	بعد دوم (مشخصه 2)
$b' \sim U(0,1)$	
$b = a + b'$	
$c, d \sim U(0.2,0.7)$	

جدول (8): شیوه ایجاد داده‌های فازی دسته 2 به منظور استفاده در مرحله آموزش اولیه

$a \sim N(3,1.5)$	بعد اول (مشخصه 1)
$b' \sim U(0,1)$	
$b = a + b'$	
$c, d \sim U(0.2,0.7)$	
$a \sim N(3,1.5)$	بعد دوم (مشخصه 2)
$b' \sim U(0,1)$	
$b = a + b'$	
$c, d \sim U(0.2,0.7)$	

جدول (9): شیوه ایجاد داده‌های فازی دسته 1 به منظور استفاده در مرحله آموزش اولیه

دسته‌ها تعلق گیرد، برچسب داده جدید را متناسب با دسته‌ای که به آن تعلق دارد، تعیین می‌کنیم. در غیر این صورت برچسب داده را برابر با برچسب نزدیکترین نقطه مرزی از نقاط مرزی جاری،  $y_n$ ، قرار می‌دهیم. برای محاسبه فاصله دو نقطه که معادل دو عدد فازی ذوزنقه‌ای می‌باشد از رابطه زیر استفاده می‌کنیم [3].

$$d(\tilde{x}_1, \tilde{x}_2) = \sqrt{\frac{1}{6}[(a_1 - c_1)^2 - (a_2 - c_2)^2 + 2(a_1 - a_2)^2 + 2(b_1 - b_2)^2 + ((b_1 + d_1) - (b_2 + d_2))^2]} \quad (6)$$

در همین حال، فاصله بین  $y$  و  $y_n$  را به  $D$  افزوده و داده  $y$  را به مجموعه اضافه می‌کنیم، چنانچه مقدار  $D$  از حد آستانه از پیش تعیین شده  $w$  کمتر باشد، محدوده دسته‌ها برای داده بعدی بر اساس نقاط مرزی جاری تعیین خواهد شد. در غیر این صورت می‌توان استنباط کرد محدوده‌های فعلی بصورت معناداری توانایی پوشش تمامی داده‌های را ندارند. یعنی سیستم دچار تغییراتی در زمان گردیده است و این تغییر در سیستم در قالب تغییر در الگو رفتار داده‌ها تجلی پیدا نموده است. لذا نیاز است محدوده‌های قبلی اصلاح شوند.

برای اصلاح محدوده‌ها، با توجه که مبنا نقاط مرزی در حل مساله داده DEA است، مسائل DEA جدیدی بر مبنای داده‌های جدید باید حل شوند. این مجموعه داده جدید از افزودن اعضای  $S_{new}$  به مجموعه داده آموزشی جاری و حذف همان تعداد از اعضای قدیمی تر مجموعه آموزشی جاری بدست می‌آید. با این اقدام که تکنیک پنجره ای<sup>4</sup> نام دارد، تعداد اعضای مجموعه داده آموزشی ثابت باقی مانده و فرست برای ایجاد محدوده‌های جدید که بتواند دسته‌بندی صحیح را بر اساس وضعیت سیستم انجام دهد، ایجاد می‌گردد. پس از این اقدامات و اصلاح مجموعه داده‌های آموزشی نقاط مرزی بدست آمده و محدوده های دسته‌های جدید قابل شناسایی می‌گردد. در این مرحله همچنین مقدار  $D$  را برابر صفر و  $S_{new}$  را خالی می‌کنیم. در این می‌تواند داده جدید بعدی را با محدوده‌های به هنگام شده دسته‌بندی نمود. این اقدامات تا زمانی که جریان داده وجود داشته باشد ادامه پیدا خواهد نمود.

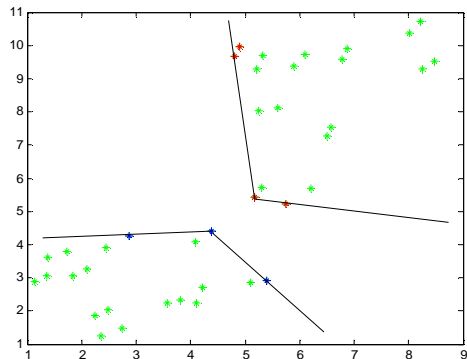
## 5-آزمون مدل جدید دسته‌بندی جریان داده فازی با استفاده از تحلیل پوششی داده

برای تولید داده‌های آموزشی اولیه و همچنین داده‌هایی که بصورت جریانی به مدل پیشنهادی تقدیم می‌شود از [11] اقتباس می‌شود. البته در این مقاله تنها دسته‌بندی داده‌های فازی در حالت ایستا مد نظر بوده است. بدین منظور برای تولید 40 داده‌های آموزشی اولیه (دو بعدی) بصورت جداول (7) و (8) عمل می‌شود. برای ایجاد داده‌هایی که بصورت جریانی وارد می‌شوند پس از ایجاد تعداد 40 داده با استفاده از روش اشاره شده در جداول 9 و 10، به تعداد 180 داده فازی در بصورت

### 4- Windowing Technique

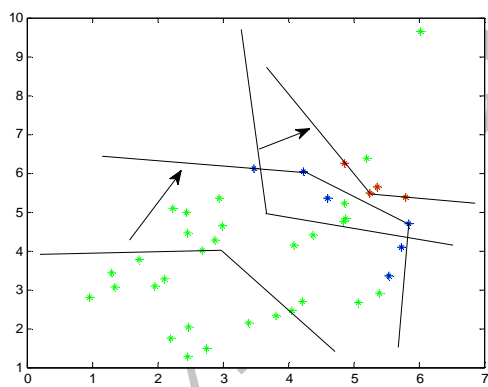
<i>Recall</i>	100	76/67	100	92/22
<i>F<sub>1</sub></i>	96/26	86/79	89/95	95/95

حجم داده‌های خارج از محدوده خوشه‌ها در شکل (7) نمایش داده شده است. لازم به ذکر است برای حل مدل‌های برنامه ریزی خطی که در حل مسائل DEA با آن مواجه می‌شویم از نرم افزار YALMIP که در MATLAB اجرا می‌گردد، استفاده شده است.



شکل (5): محدوده‌های دسته‌های 1 و 2 بدست آمده از داده‌های آموزشی

اولیه



شکل (6): محدوده‌های دسته‌های 1 و 2 بدست آمده از داده‌های آموزشی

اولیه و پس از ورود 220 داده جدید

### آخر تست

a~N(8,1.5) b'~U(0,1) b = a + b' c,d~U(0.2,0.7)	بعد اول (مشخصه 1)
a~N(9,1.5) b'~U(0,1) b = a + b' c,d~U(0.2,0.7)	بعد دوم (مشخصه 2)

جدول (10): شیوه ایجاد داده‌های فازی دسته 2 به منظور استفاده در مرحله

### آخر تست

a~N(2,1.5) b'~U(0,1) b = a + b' c,d~U(0.2,0.7)	بعد اول (مشخصه 1)
a~N(4,1.5) b'~U(0,1) b = a + b' c,d~U(0.2,0.7)	بعد دوم (مشخصه 2)

پس از اجرا روش جدید دسته‌بندی جریان داده فازی با استفاده از DEA در محیط نرم افزار MATLAB از شاخص‌های صحت<sup>5</sup> و  $F_1$  به صورت زیر تعریف می‌شوند، برای ارزیابی روش پیشنهادی استفاده می‌گردد:

$$\text{صحت} = \frac{\text{(تعداد داده‌هایی که دسته آنها درست پیش‌بینی شده)}}{\text{تعداد کل داده‌ها}} \quad (7)$$

$$F_1 = \frac{2 * \text{Precision} * \text{Recall}}{\text{Precision} + \text{Recall}} \quad (8)$$

مدل چه نسبتی از داده‌های دسته مورد نظر را شامل = دقت (Precision) می‌شود

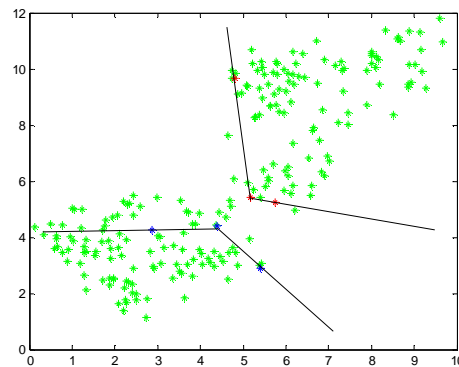
نسبتی از داده‌هایی که به درستی به دسته ای خاص تعلق = بازیابی (Recall) گرفته

نتایج حاصل از بکار بردن روش پیشنهادی در جدول (11) ارائه شده است. در این جدول روش پیشنهادی با حالتی که بهنگام سازی در آن اجرا نمی‌شود، مقایسه گردیده است.

جدول (11): نتایج مقایسه روش پیشنهادی

	روش پایه (بدون بهنگام سازی)		روش پایه (بدون بهنگام سازی)	
	دسته اول	دسته دوم	دسته اول	دسته دوم
Precision	92/87	100	81/08	100

<sup>5</sup> - Accuracy



شکل (7): داده‌های جدید قرار گرفته در خارج از محدوده اولیه دسته‌ها  
جدول(12): داده‌های اولیه

ردیف	مشخصه 1				مشخصه 2				ردیف
	a	b	c	d	a	b	c	d	
1	7.99998	8.504175	0.441703	0.388807	8.892574	9.697303	0.204586	0.522357	1
2	4.91105	5.430771	0.607884	0.304314	5.378114	5.490466	0.307851	0.654644	1
3	5.04915	5.437951	0.223071	0.352402	7.958476	8.103155	0.303739	0.62532	1
4	6.09246	6.906306	0.541047	0.641219	6.912916	7.626026	0.240212	0.60935	1
5	4.76715	4.848952	0.447413	0.415165	9.494472	9.84343	0.281274	0.469875	1
6	7.83781	8.183272	0.65683	0.280086	9.897817	10.82114	0.418562	0.470063	1
7	6.58396	6.971838	0.683608	0.233362	9.220763	9.919116	0.201027	0.618302	1
8	5.05947	5.3762	0.263362	0.2579	8.847842	9.737265	0.209876	0.24921	1
9	5.66734	5.831705	0.246974	0.466066	5.047529	5.421684	0.683739	0.509793	1
10	5.52022	6.282624	0.408748	0.617765	9.04208	9.712118	0.428085	0.619018	1
11	8.41497	8.666953	0.385917	0.4411	9.151455	10.02969	0.467666	0.468209	1
12	5.15700	5.727674	0.37389	0.449352	5.693027	5.876463	0.493079	0.456103	1
13	5.50768	5.690969	0.361863	0.457605	8.379598	8.249429	0.518492	0.443997	1
14	6.49247	6.962891	0.349836	0.465858	7.376944	7.89972	0.543905	0.431891	1
15	5.09917	4.977806	0.33781	0.474111	9.808823	10.20422	0.569317	0.419785	1
16	7.93184	8.299742	0.325783	0.482364	10.32963	11.14334	0.59473	0.407678	1
17	7.07128	7.314199	0.313756	0.490617	9.64187	10.28555	0.620143	0.395572	1
18	5.51827	5.385751	0.301729	0.49887	8.956465	9.978333	0.645556	0.383466	1
19	6.12818	6.051681	0.289702	0.507123	5.289551	5.52915	0.670969	0.37136	1
20	5.64508	6.324646	0.277676	0.515375	9.289791	10.19117	0.696382	0.359254	1
21	1.68553	2.508633	0.471056	0.246196	2.961103	3.586489	0.456646	0.487854	2
22	2.60178	2.89706	0.501119	0.291419	1.334058	1.621302	0.646342	0.246296	2
23	2.50863	3.241803	0.474446	0.27808	4.126251	4.418736	0.610949	0.69701	2
24	1.26262	2.187699	0.301078	0.204224	3.750251	3.818067	0.686543	0.661394	2
25	3.87008	4.559191	0.400484	0.389791	2.224109	3.18284	0.481582	0.675263	2
26	3.35963	4.26282	0.671675	0.43699	2.161186	2.47941	0.332949	0.230542	2
27	2.47367	2.491433	0.609977	0.228694	1.869944	2.202712	0.346211	0.401242	2
28	4.33814	4.428276	0.548327	0.273575	4.388719	4.422831	0.343734	0.309811	2
29	5.36744	5.425027	0.231679	0.561415	2.62722	3.193147	0.635046	0.327493	2

30	1.33773	1.371447	0.547859	0.310588	2.775248	3.367059	0.461346	0.272433	2
31	1.39333	2.137378	0.43719	0.41345	2.71737	3.281544	0.513742	0.235558	2
32	2.12033	2.864583	0.418769	0.43079	1.018398	1.485687	0.536675	0.198684	2
33	2.18379	3.070627	0.400347	0.44813	3.885626	4.325432	0.559607	0.161809	2
34	1.08676	2.030524	0.381925	0.46547	3.48406	3.697166	0.58254	0.124935	2
35	3.42882	4.358029	0.363503	0.48281	2.105078	2.760174	0.605472	0.08806	2
36	3.21022	4.205422	0.345081	0.50015	2.06128	2.258857	0.628405	0.051186	2
37	2.31261	2.190214	0.326659	0.51749	1.812232	2.077177	0.651337	0.014311	2
38	4.17818	4.342631	0.308238	0.53483	4.348913	4.205796	0.67427	-0.02256	2
39	5.21753	4.943112	0.289816	0.55217	2.392648	3.177612	0.697203	-0.05944	2
40	1.28225	1.22496	0.271394	0.56951	2.280905	3.300878	0.720135	-0.09631	2

## 7- منابع و مأخذ

- [1] غضنفری، مهدی، علیزاده، سمیه، تیمورپور، بابک، (1387). داده کاوی و کشف دانش، دانشگاه علم و صنعت ایران.
- [2] Abonyi, J., Feil, B., (2007), **Cluster analysis for data mining and system identification**, Springer Science & Business Media.
- [3] Chen, T.Y., Ku, T.C., Tsui, C. W., (2008), **Determining attribute importance based on triangular and trapezoidal fuzzy numbers in (z) fuzzy measures**. In The 19th International Conference on Multiple Criteria Decision Making (pp. 75-76).
- [4] Jain, A.K., (2010), **Data clustering: 50 years beyond K-means**, Pattern recognition letters, 31(8), 651-666.
- [5] Lee, S., Kim, G., Kim, S., (2011), **Self-adaptive and dynamic clustering for online anomaly detection**, Expert Systems with Applications, 38(12), 14891-14898.
- [6] León, T., Liern, V., Ruiz, J. L., Sirvent, I., (2003), **A fuzzy mathematical programming approach to the assessment of efficiency with DEA models**, Fuzzy sets and systems, 139(2), 407-419.
- [7] Mena-Torres, D., Aguilar-Ruiz, J.S., (2014), **A similarity-based approach for data stream classification**, Expert Systems with Applications, 41(9), 4224-4234.
- [8] Pendharkar, P.C., Troutt, M.D., (2014), **Interactive classification using data envelopment analysis**, Annals of Operations Research, 214(1), 125-141
- [9] Taneja, S., Suri, B., Narwal, H., Jain, A., Kathuria, A., Gupta, S., (2016), **A new approach for data classification using Fuzzy logic**. In 2016 6th International Conference-Cloud System and Big Data Engineering (Confluence) .pp. 22-27, IEEE.
- [10] Yan, H., Wei, Q., (2011), **Data envelopment analysis classification machine**, Information Sciences, 181(22), 5029-5041.
- [11] Yazdi, H. S., Vhedian, A., (2009), **Fuzzy Bayesian classification of LR Fuzzy numbers**, IACSIT International Journal of Computer Theory and Engineering, 1(5).
- [12] Yin, S., Kaynak, O., (2015), **Big Data for Modern Industry: Challenges and Trends [Point of View]**, Proceedings of the IEEE, 103(2), 143-146.

## 6- نتیجه گیری

در این تحقیق مدلسازی مساله دسته‌بندی داده‌ها در قالب یک مساله تحلیل پوششی داده صورت گرفت. سپس مدلسازی به سطح یک مدل غیرقطعی فازی توسعه بیندا نمود تا بتوان داده‌های فازی کوژنقای را مورد مطالعه قرار داد. در گام بعدی مدل برنامه‌ریزی ریاضی فازی به یک مدل برنامه ریزی قطعی معادل تبدیل شد بگونه‌ای که با حل آن مقادیرتابع هدف (کارایی DMUها) بصورت قطعی حاصل شود. با اینکه یک چارچوب جدید، مدل برنامه‌ریزی ایجاد شده جهت دسته‌بندی داده‌های جریانی فازی به کارگرفته شد. این چارچوب پیشنهادی این امکان را فراهم می‌آورد تا با ورود داده‌ها در طول زمان، به‌هنگامسازی محدوده‌های دسته‌ها اتفاق بیافتد.

به بکارگیری روش پیشنهادی جدید بر روی داده‌ای شبیه‌سازی شده (مستخرج از مقالات موجود در ادبیات تحقیق)، صحت پیش‌بینی در دسته‌بندی به بیش از 96 درصد رسید در صورتی که عدم استفاده از ویژگی به‌هنگامسازی دقت در حدود 86 درصد بود. این در حالی است که میانگین شاخص  $F_1$  نیز 10 درصد بهبود داده شد. از طرفی روش پیشنهادی فقط نیاز به تعیین یک پارامتر ورودی توسط کاربر، یعنی پارامتر  $\epsilon$  دارد و از این منظر کار را برای استفاده از آن ساده می‌کند.

Archive of SID